

# I-265 角柱まわりのフロー・パターン

九州大学 応用力学研究所 正員 溝田武人

1. まえがき 流れの中に静止させた断面比 $1/1, 1/2$ および $1/4$ 角柱のまわりの逆流を含む非定常流速をタンデム型熱線プローブで測定し<sup>1)</sup>、その結果から角柱まわりの最大変動流速分布、位相速度分布、非定常流線をえた。実験は、幅 $\times$ 高さ $\times$ 長さ $=0.7^m \times 3^m \times 2^m$ の測定部断面を有するエッフェル型風洞を使ひて行い、流速は $U_m = 6.90 m/sec.$ 、角柱断面は $15^m \times 15^m (1/1), 15^m \times 30^m (1/2)$  および $9^m \times 36^m (1/4)$ である。流れのレイノルズ数は角柱の高さを代表長として $Re = 7.14 \times 10^4 (1/1, 1/2), 4.28 \times 10^4 (1/4)$ である。

## 2. 実験結果

2.1. 等変動速度分布 各々の角柱まわりの等変動速度( $U_{rms} + U_{r.m.s.}^{1/2}$ )<sup>2)</sup>/ $U_m$ の分布を図1に示す。 $1/1$ 角柱についてはすでに述べたが、中心軸付近を詳細に調べた結果、非常に高い値を示すことがわかった。本図から、変動揚力 $CL_v$ の大きい角柱では、wakeの中心線上付近に大きな流速変動を示す領域が存在し( $1/1, CL_v = 1.40$ )、 $CL_v$ が比較的小さい角柱( $1/2, CL_v = 0.50$ ;  $1/4, CL_v = 0.07$ )では、その領域が中心線上にはなく、上下に分離して存在していることがわかった。前者の角柱では上下2列の剥離剪断層の相互干渉が激しく、中心線付近の速度変動はひくみが卓越していることが特徴である。

2.2. 位相速度分布 變動流速の卓越周波数を $N Hz/sec.$ 、 $\Delta f^m$ 離れた2点間ににおける位相差を $\phi rad$ とすれば、波長は $\lambda = 2\pi \times \Delta f / N$ 、無次元位相速度は $\phi U_m = 2\pi N \lambda / U_m$ である。 $Y =$ 一定の線上における $u$ 成分の $\phi U_m$ に対する測定結果を図2に示す。両図からわからるように角柱の上流や側面上方では、 $\phi U_m$ が非常に大きくなり流速変動は場所的にほぼ同相となる。Simmons<sup>3)</sup>はbound vortexとvortex streetが流れることとの2つの効果を考慮して、blunt trailing edgeまわりの位相速度の実験結果を説明している。前縁から剥離する角柱にありても、 $1/1$ 角柱では $X \leq 0.02$ 急激に $\phi U_m$ が大きくなり、 $1/4$ 角柱では、 $X \leq 0.5$ と同じ傾向が見られる。また $1/2$ 角柱では後縁より後の $X \geq 1.0 \sim 1.2$ 、 $1/4$ 角柱では、側面上方 $X \geq 1.2 \sim 1.7$ で各々 $\phi U_m$ が大きくなる。いずれの角柱でも $X \geq 5.0$ の後方で $\phi U_m \approx 0.75$ のほぼ一定値となる。

2.3. 角柱まわりのフロー・パターン  $1/2, 1/4$ 角柱に加わる非定常揚力との位相関係において非定常流線を描いた結果を図3, 4に示す。図は上向き最大の揚力が角柱に作用する瞬間を $0^\circ$ として、下向き最大の揚力を示す $180^\circ$ までの流れの半周期を $30^\circ$ 毎に流線を求めた結果である。 $1/2$ 角柱の場合は、まず $0^\circ$ で前縁の上側の角から流れれる $\psi = 0$ 流線は2個の循環流 $\psi = -0.05$ を取り囲んで背面下方で閉じている。 $30^\circ$ では、内部の循環流の一方が大きくなり発達し、 $\psi = 0$ の流線はさらに長く後方に及んでいるが、背面下方に戻って閉じている。 $1/4$ 角柱では $30^\circ$ で $\psi = 0$ の流線が背面で閉じてしまつたことと比較される。 $60^\circ$ では発達した循環流が放出され、 $\psi = 0$ の流線は無限遠方に連続している。他方、前縁の下側の角から連続する $\psi = 0$ の流線が背面下上で閉じている。揚力が $0^\circ$ となる $90^\circ$ では、放出された循環流が次第に後方に流れ、下側の $\psi = 0$ 流線は発達してくる。 $120^\circ, 150^\circ$ と下側の $\psi = 0$ 流線が拡大するにつれて、下向きの揚力が増加して、 $0^\circ$ と $180^\circ$ 、 $Y$ 軸に對称な流れとなる( $180^\circ$ )。 $1/4$ 角柱では、前縁から剥離した流れが、上下面で再付着する位置が角柱に作用する非定常揚力に大きく寄与している。すなわち再付着点より後は、圧力が回復側に作用すると考えらるるやうである。まず $0^\circ$ では、下面側の

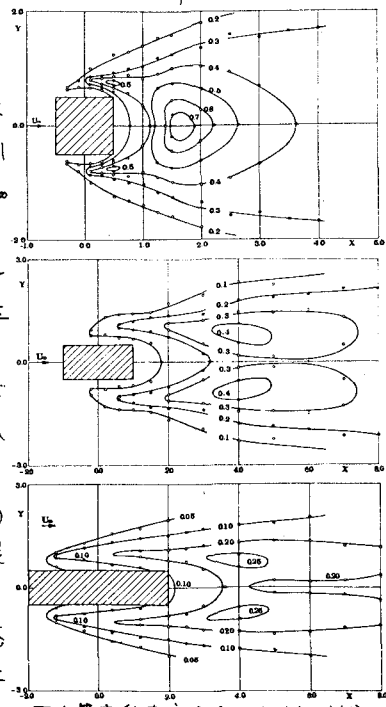


図1. 等変動速度分布(1/1, 1/2, 1/4)

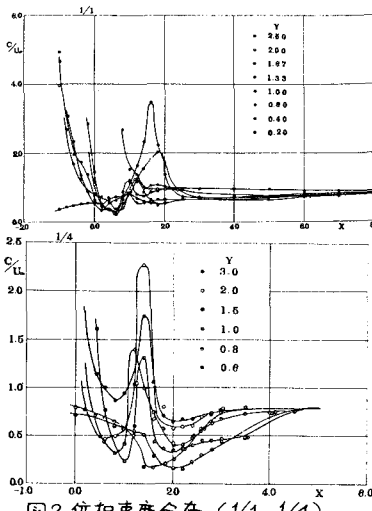
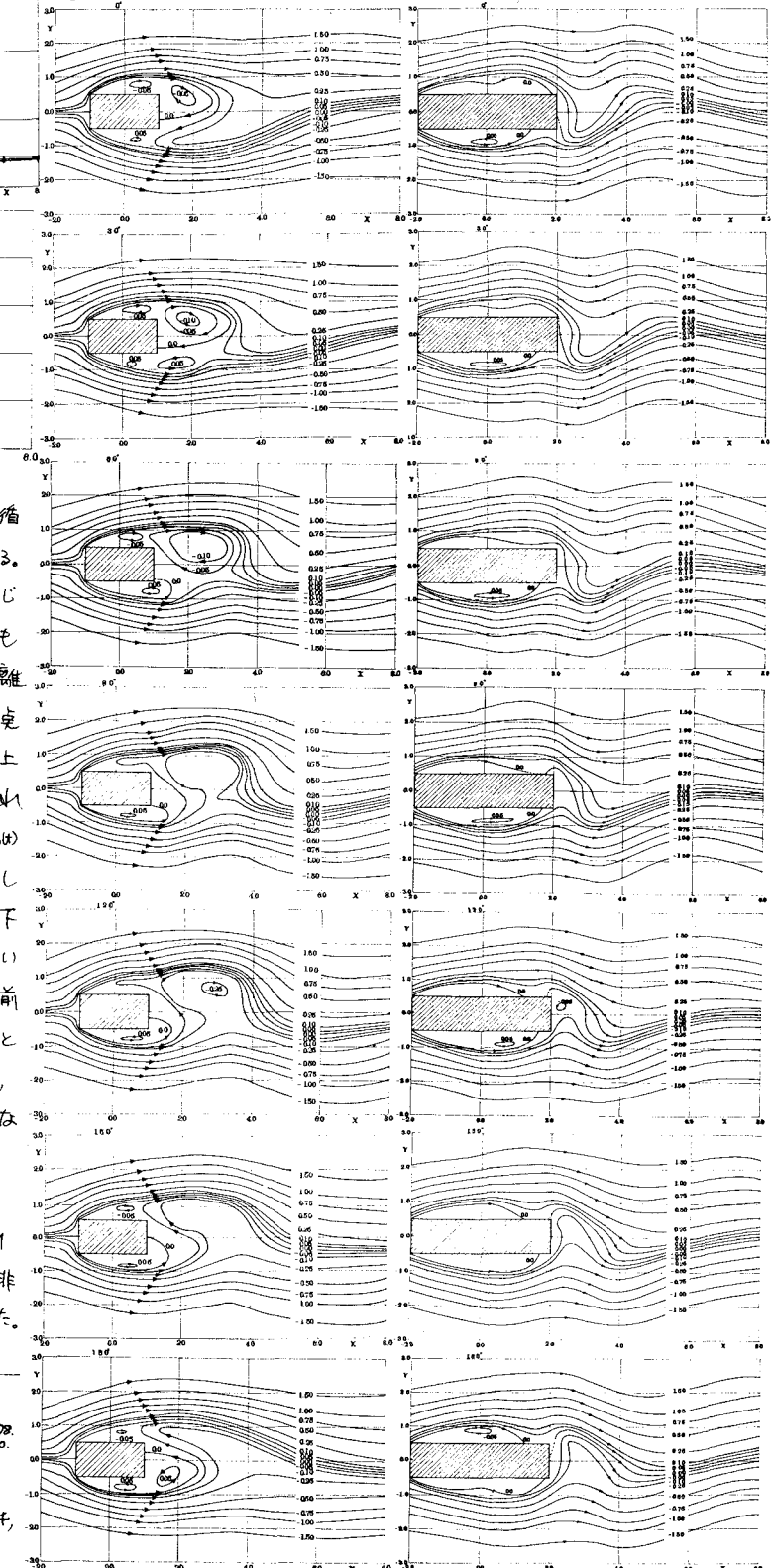


図2.位相速度分布(1/1, 1/4)

図3.1/2角柱まわりのフローパターン

図4.1/4角柱まわりのフローパターン



$\psi = 0$  の流線は内部に  $\psi = 0.05$  の値環流を囲んで  $X = 1.25$  で束じている。

上面側の  $\psi = 0$  は、 $X = 1.80$  で束じていい。30°では再付着点は側面から後方に移動し、上面側は壁面から離れていい。60°では下面側の再付着点はさらに後方に移動していいが、上面側の  $\psi = 0$  は  $Y < 0$  側に凸な流れとなり側面に接近してあり、90°(下)ではその側面で再付着が発生している。その後 120°～180°では、下面側の再付着点はあまり移動しないが、上面側の再付着点が実質的に前方に移動して、下面側の再付着点とのX方向の位置の差が大きくなり、結果として下方への揚力が大きくなる。

3 あゆりに レイノルズ数(4.28～7.14)  $\times 10^4$  における静止させた 1/1, 1/2 および 1/4 角柱のまわりの非定常流速を測定し、流れを考察した。

#### [文献]

- 1) 潟田, 土木学会論文報告集, 第278号, 10.
- 2) 潟田, 土木学会第32回講演概要, S. 52.
- 3) J.E.J. Simmons, J.F.M., vol. 64, 1974.